



"Black holes are where God divided by zero."

— Albert Einstein



0. 课程介绍

北京大学物理学院 (2020年秋季学期)

主讲人：邵立晶

General Relativity & Astrophysics

本章内容

1 引子

2 $r = 2M$

3 坐标变换

■ Eddington-Finkelstein 坐标

■ Kruskal-Szekeres 坐标

4 其它黑洞

引子

- 牛顿引力下，若光子有质量 m ，则在某半径 R 内，光子无法逃脱出来

牛顿引力

$$\frac{1}{2}mc^2 = \frac{GMm}{R} \Rightarrow R = \frac{2GM}{c^2}$$

- R 与 Schwarzschild 黑洞视界的数值大小一致，但在含义上却有显著的差别

1. 引子

引子

- 在 Einstein 的 GR 中，黑洞是指这样一片 **奇特的时空区域**：光和粒子只能单向下落至一个密度为无穷的 **奇点** (singularity)
 - 不可能静止，不可能向外运动
- 至于奇点，是现代物理理论至今无法理解的“盲点”，物理学家预估着需要 **量子引力** 去描述它
 - 但至今尚无任何可靠的头绪
- 由于课时的限制，我们主要讨论不带自转的黑洞，即 **Schwarzschild 黑洞**
 - 带自转的黑洞称为 **Kerr 黑洞**，描述的是 **轴对称时空**

2. $r = 2M$

在 $r = 2M$ 处

- Schwarzschild 时空是 Einstein 场方程的 **静态、球对称、真空解**

Schwarzschild 线元

$$ds^2 = -\left(1 - \frac{2M}{r}\right) dt^2 + \left(1 - \frac{2M}{r}\right)^{-1} dr^2 + r^2 d\Omega^2$$

- 通过它，我们已能很好地描述水星进动、光线偏折、引力红移、Shapiro 延时等现象

在 $r = 2M$ 处

- 度规在 $r \rightarrow 2M$ 处，却出现令人注目的现象

$r \rightarrow 2M$: g_{tt} 和 g_{rr} 准备变号！

$$\begin{aligned} g_{tt} &\rightarrow 0, & g_{rr} &\rightarrow \infty \\ g^{tt} &\rightarrow \infty, & g^{rr} &\rightarrow 0 \end{aligned}$$

- 下面我们将看到， $r = 2M$ 处的“奇异”行为与 **坐标选取** 有关

有质量粒子的径向运动

- 考虑径向运动、从 $r > 2M$ 处下落的粒子
- 限制于径向运动，有 $L = 0$ ；动力学方程为

Schwarzschild 时空中径向运动的方程

$$\left(\frac{dr}{d\tau}\right)^2 = E^2 - \left(1 - \frac{2M}{r}\right)$$
$$\frac{dt}{d\tau} = E \left(1 - \frac{2M}{r}\right)^{-1}$$

即，有质量粒子运动方程中，取 $L = r^2 d\varphi/d\tau = 0$

有质量粒子的径向运动

- 当 $r \rightarrow 2M$ 时，

$$\frac{dr}{dt} = \frac{dr}{d\tau} / \frac{dt}{d\tau} \rightarrow 0$$

这里， t 为坐标时，也是无穷远处观测者的时间

- 所以，对无穷远处的观测者而言，粒子永远不可能到达 $r = 2M$
- 而对粒子而言，它的时间是 τ （即，固有时）；由于 $r \rightarrow 2M$ 时， $dr/d\tau$ 是个“正常的速度”（不为零），故它可（在有限时间内）穿越 $r = 2M$

有质量粒子的径向运动

- 若粒子从 r_0 处、从静止开始下落，由初条件得，

$$\left(\frac{dr}{d\tau}\right)^2 = 2M \left(\frac{1}{r} - \frac{1}{r_0}\right)$$

- 微分方程可求得参数化的解，为

$$r = \frac{r_0}{2}(1 + \cos \eta)$$
$$\tau = \frac{r_0}{2} \sqrt{\frac{r_0}{2M}} (\eta + \sin \eta)$$

有质量粒子的径向运动

- 当 $\cos \eta = 4M/r_0 - 1$ 时， $r = 2M$ ；此时， τ 为有限值

- 故，粒子可在有限时间内到达 $2M$

- 当 $\cos \eta = -1$ 时， $r = 0$ ；此时， $\tau = \frac{\pi r_0}{2} \sqrt{\frac{r_0}{2M}}$

- 故，粒子可在有限时间内到达 $r = 0$

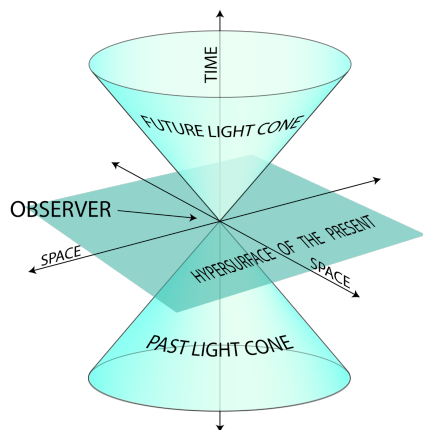
- 问题仅出现在，用无穷远处的钟来“标定”坐标时间

- 这是一个人为的坐标选择，而物理本身在 $2M$ 处无奇异性

- 计算得，曲率张量在 $r = 2M$ 处也“表现正常”，无奇异性

光锥

■ 平直时空的光锥



光锥

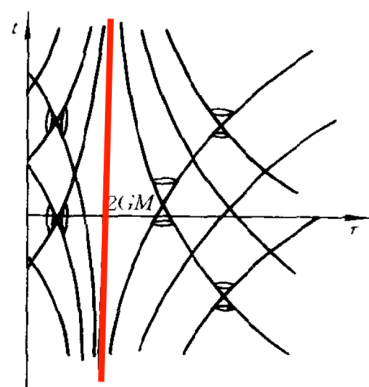
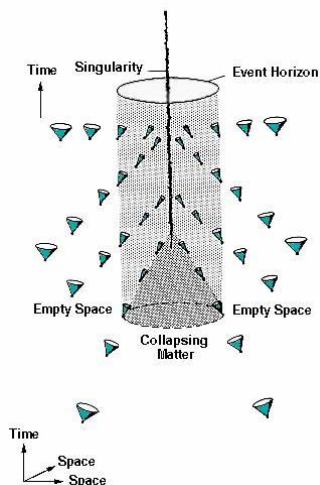
- 在 Schwarzschild 时空中，只考虑径向运动，光锥由 $ds^2 = 0$ 给出

$$\frac{dt}{dr} = \pm \left(1 - \frac{2M}{r}\right)^{-1}$$

- 积分可得，

$$\pm t = r + 2M \ln \left| 1 - \frac{r}{2M} \right| + \text{const}$$

Schwarzschild 时空中的光锥



Schwarzschild 时空中的光锥

- 引入

$$r^* = r + 2M \ln \left| 1 - \frac{r}{2M} \right|$$

- 则光锥为

$$t + r^* = V$$

$$t - r^* = U$$

其中 U 、 V 为积分常数

Schwarzschild 时空中的光锥

- $t > 2M$ 时, $t + r^* = V$ 代表径向向内运动, $t - r^* = U$ 代表径向向外运动
- $t > 2M$ 时的光锥线不与 $r = 2M$ 相交 (只能无限逼近), 这也正是反映了需要 $t \rightarrow \infty$ 才能到达 $r = 2M$
- $t < 2M$ 时, 有质量的粒子仍旧满足 $ds^2 < 0$, 故有

$$\left(\frac{dr}{dt}\right)^2 > \left(1 - \frac{2M}{r}\right)^2$$

- 不存在 $dr/dt = 0$ 的解, 即不可能有静止的粒子
- t 可增也可减, 而 r 只能减

坐标变换

- 广义相对论中存在坐标变换的自由度
 - 数学上称为微分同胚不变性, diffeomorphism
- 现在我们讨论在其它坐标下的黑洞行为

3. 坐标变换

Eddington-Finkelstein 坐标

- 在原来的 Schwarzschild 坐标下, 粒子从 $r > 2M$ 落向 $r = 2M$ 时

$$t_{\text{old}} = -r_{\text{old}} - 2M \ln \left(\frac{r_{\text{old}}}{2M} - 1 \right) \rightarrow \infty$$

- 引入新坐标

Eddington-Finkelstein 坐标

$$t_{\text{new}} = t_{\text{old}} + 2M \ln \left| \frac{r_{\text{old}}}{2M} - 1 \right|$$

$$r_{\text{new}} = r_{\text{old}}$$

- 此时, 当 $r_{\text{new}} = r_{\text{old}} = 2M$ 时, t_{new} 将是有限的
- 下面, 我们仍旧将 t_{new} 、 r_{new} 记为 t 、 r

Eddington-Finkelstein 坐标

- 此时，有

Eddington-Finkelstein 坐标下的度规

$$ds^2 = -\left(1 - \frac{2M}{r}\right) dt^2 + \left(1 + \frac{2M}{r}\right) dr^2 + \frac{4M}{r} dr dt + r^2 d\Omega^2$$

- 径向运动的光锥方程为

$$\frac{dr}{dt} = \frac{1 - \frac{2M}{r}}{1 + \frac{2M}{r}}$$
$$\frac{dr}{dt} = -1$$

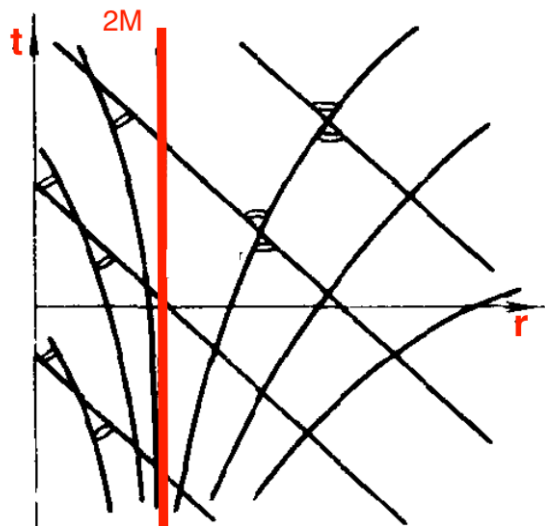
Eddington-Finkelstein 坐标

- 积分得到，

$$t - r - 4M \ln \left| 1 - \frac{r}{2M} \right| = U$$
$$t + r = V$$

- 这套坐标称为“**内行**”坐标，它明确描述了向内运动的粒子的行为，将在有限时间内穿过 $r = 2M$ ，并落入 $r \rightarrow 0$
- 但对于 $r < 2M$ 且向外运动的粒子，将会有 $dt < 0$ ，并只有在 $t \rightarrow -\infty$ 时才能到达 $r = 2M$
- **内行坐标适合描述物体下落而进入视界的运动**

Eddington-Finkelstein “内行”坐标的光锥



Eddington-Finkelstein 坐标

- 讨论物体从内部区向外穿过视界的运动，可以引入 Eddington-Finkelstein “**外行**”坐标

Eddington-Finkelstein “外行”坐标

$$t_{\text{new}} = t_{\text{old}} - 2M \ln \left| \frac{r_{\text{old}}}{2M} - 1 \right|$$
$$r_{\text{new}} = r_{\text{old}}$$

Eddington-Finkelstein 坐标

- 此时，度规为

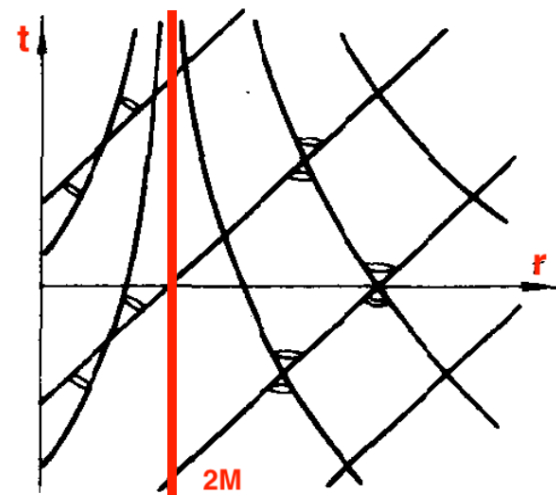
Eddington-Finkelstein “外行” 坐标下的度规

$$ds^2 = -\left(1 - \frac{2M}{r}\right) dt^2 + \left(1 + \frac{2M}{r}\right) dr^2 - \frac{4M}{r} dr dt + r^2 d\Omega^2$$

- 光锥线为

$$\begin{aligned} t + r + 4M \ln \left| 1 - \frac{r}{2M} \right| &= V \\ t - r &= U \end{aligned}$$

Eddington-Finkelstein “外行” 坐标的光锥



Kruskal-Szekeres 坐标

- Kruskal-Szekeres 坐标 (K-S 坐标) 是一套能完全消除视界的弊病的坐标系
 - 可用来讨论时空的全局结构
- K-S 坐标为 (v, u, θ, φ) ，其中 v 为 K-S 时间， θ 和 φ 与 Schwarzschild 坐标一致
- 度规为 (变换关系见下一页)

K-S 坐标下的线元

$$ds^2 = \frac{32M^3}{r} e^{-r/2M} (-dv^2 + du^2) + r^2 d\Omega^2$$

其中 r 由隐函数给出

$$\left(\frac{r}{2M} - 1\right) e^{r/2M} = u^2 - v^2$$

K-S 坐标

K-S 坐标中的 (v, u) 与 Schwarzschild 坐标中的 (t, r) 的变换

$r > 2M$ 时，

$$\begin{aligned} u &= \pm \sqrt{\frac{r}{2M} - 1} e^{r/4M} \cosh\left(\frac{t}{4M}\right) \\ v &= \pm \sqrt{\frac{r}{2M} - 1} e^{r/4M} \sinh\left(\frac{t}{4M}\right) \end{aligned}$$

$r < 2M$ 时，

$$\begin{aligned} u &= \pm \sqrt{1 - \frac{r}{2M}} e^{r/4M} \sinh\left(\frac{t}{4M}\right) \\ v &= \pm \sqrt{1 - \frac{r}{2M}} e^{r/4M} \cosh\left(\frac{t}{4M}\right) \end{aligned}$$

K-S 坐标的性质

■ $ds^2 = 0$ 给出光锥线方程

$$\frac{du}{dv} = \pm 1$$

■ r 为常数 $\Rightarrow u^2 - v^2 = \text{const}$

■ 双曲线

■ 特别是 $r = 2M$, 化成了一对直线 $u = \pm v$

■ $r = 0$ 为 $v^2 - u^2 = 1$

K-S 坐标的性质

■ 根据 (v, u) 与 (t, r) 的变换关系式, 得到

$$\tanh\left(\frac{t}{4M}\right) = \frac{v}{u}, \quad r > 2M$$

$$\tanh\left(\frac{t}{4M}\right) = \frac{u}{v}, \quad r < 2M$$

■ 所以, 等 t 面是过原点的直线族

■ $t = +\infty$ 时, $u = v$ (与视界重合)

■ $t = -\infty$ 时, $u = -v$ (与视界重合)

■ $t = 0$ 时, $u = 0$ 或 $v = 0$

K-S 坐标

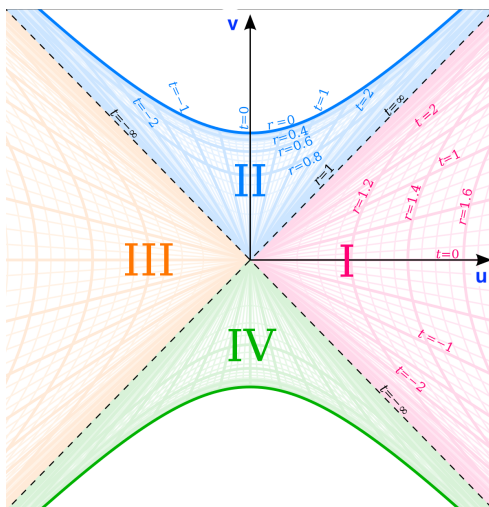
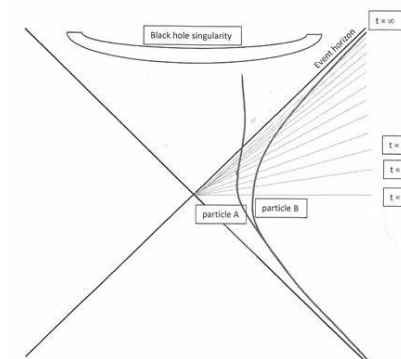
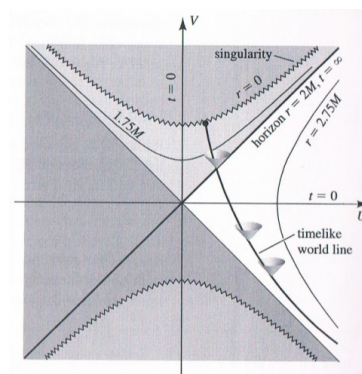


Figure: 该图中 r 以 $2M$ 为单位

Kruskal-Szekeres 坐标中粒子的运动

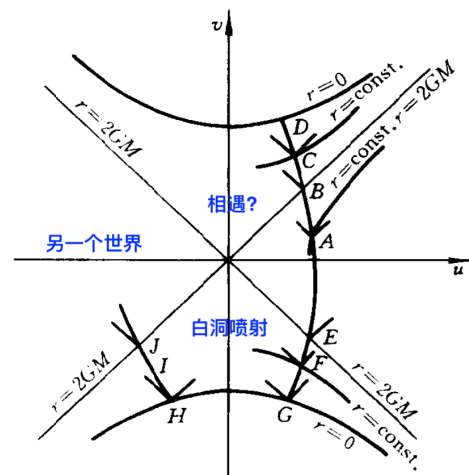
■ K-S 坐标的第 I 区包括了所有 $2M < r < \infty$ 和 $-\infty < t < +\infty$ 的坐标, 故它对“现实区域”的“物理描绘”是充分的



Kruskal-Szekeres 坐标中粒子的运动

- 正如前面所介绍的，第 I 区的粒子能在有限的 **K-S 时间 v** 内到达 $r = 2M$ ，此时 Schwarzschild 时间为 $t = \infty$
- 第 II 区对应的是 Schwarzschild 坐标中 $r < 2M$ 部分
- 在第 II 区，由于等 r 线在光锥线外，所以粒子不能保持 r 不变，唯一的可能性是朝 $r = 0$ 运动

时空的全局结构：黑洞、白洞、另一个世界



天体物理中的黑洞

- 黑洞的形成机制
 - 1 早期宇宙高密介质中由于密度涨落而造成的原初黑洞
 - 2 恒星演化至晚期的终局
 - 3 超重星、星团、星系核塌缩形成的巨型黑洞

5. 其它黑洞

一些有意思的定理

在（经典的）广义相对论中，

- 稳定的黑洞必定是轴对称的
- 稳定黑洞的引力场只能包含三个物理参量：质量 M ，电荷 Q ，角动量 J
 - 黑洞无毛定理（no-hair theorem）
- 黑洞动力学过程中，视界的总面积不能减少
 - 黑洞动力学第二定律，也叫面积不减定理

带电的黑洞

- 球对称的带电黑洞

Reissner-Nordstrom 黑洞

$$ds^2 = - \left(1 - \frac{2M}{r} + \frac{Q^2}{r^2} \right) dt^2 + \left(1 - \frac{2M}{r} + \frac{Q^2}{r^2} \right)^{-1} dr^2 + r^2 d\Omega^2$$

- 黑洞的视界仍旧定义为单向运动时空区的边界
- $r_+ = M + \sqrt{M^2 - Q^2}$
- 要求： $M > |Q|$

自转的黑洞

Kerr-Newman 黑洞

$$ds^2 = - \frac{\Delta}{\rho^2} \left(dt - a \sin^2 \theta d\varphi \right)^2 + \frac{\sin^2 \theta}{\rho^2} \left[\left(r^2 + a^2 \right) d\varphi - a dt \right]^2 + \frac{\rho^2}{\Delta} dr^2 + \rho^2 d\theta^2$$

其中，

$$\Delta \equiv r^2 - 2Mr + a^2 + Q^2$$

$$\rho^2 \equiv r^2 + a^2 \cos^2 \theta$$

- 视界： $r_+ = GM + \sqrt{M^2 - a^2 - Q^2}$

- 根据黑洞面积不减定理，定义不可约质量 $m_{\text{ir}} = \sqrt{A/16\pi}$
- 对于 Kerr-Newman 黑洞来说，有

$$M^2 = \left(m_{\text{ir}} + \frac{Q^2}{4m_{\text{ir}}} \right)^2 + \frac{J^2}{4m_{\text{ir}}^2}$$

- Schwarzschild 黑洞是黑洞的“基态”
- Bekenstein 证明了黑洞的熵为

$$S = \frac{k_B}{4\hbar G} A$$

- 据此，可以得到黑洞热力学
 - 如，对 Schwarzschild 黑洞而言，有“温度” $T = \hbar/4kGM$
- 由于黑洞有负的热容，所以黑洞在热力学上是不稳定的
 - Hawking 辐射